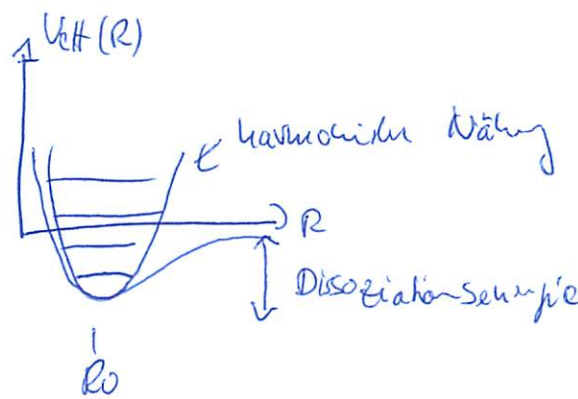


(162)

6.2

Schwingungs- und Rotationsanregung

Diskus



$$V_{\text{eff}} \approx \frac{1}{2} D (R - R_0)^2$$

$$\rightarrow E_h = \left(n + \frac{1}{2}\right) \hbar \omega \quad \omega = \sqrt{\frac{D}{M_r}}$$

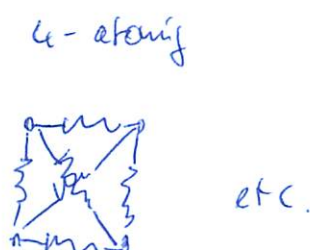
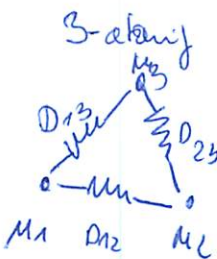
Für kleinen Besetzungszahl des harmonischen Oszillators ist die harmonische Näherung gut. Für große n ist der Abzug zu groß.

Genaue Reihe liefert: $E_n = \left(n + \frac{1}{2}\right) \hbar \omega - \frac{\hbar^2 \omega^2}{4E_D} (n + \frac{1}{2})^2$

ω ist typischerweise ca. 0.1 eV



Mehratomik Moleküle



163

N Kerne \Rightarrow 3N Schwellenwerte Baryonenzweige

$$\mu_1 (\vec{R}_1 - \vec{R}_{10}) = \mu_1 \begin{pmatrix} x_1 - x_{10} \\ y_1 - y_{10} \\ z_1 - z_{10} \end{pmatrix} \quad \left. \begin{array}{c} \vdots \\ \vdots \\ \vdots \end{array} \right\} = \begin{pmatrix} q_1 \\ \vdots \\ q_n \end{pmatrix}$$

$$\mu_N (\vec{R}_N - \vec{R}_{N0}) = \mu_N \begin{pmatrix} x_N - x_{N0} \\ y_N - y_{N0} \\ z_N - z_{N0} \end{pmatrix} \quad \left. \begin{array}{c} \vdots \\ \vdots \\ \vdots \end{array} \right\} = \begin{pmatrix} q_1 \\ \vdots \\ q_n \end{pmatrix}$$

Bewegungsgesetz

$$\ddot{q} + D\dot{q} = 0$$

D NxN Matrix, dynamische Matrix

$$\text{Ansatz: } \vec{q} = \vec{q}_0 \cos \omega t$$

führt zu Eigenwertgleichung

$$(D - \omega^2) \vec{q}_0 = 0$$

left ω_i and \vec{q}_i

$i=1 \dots N$ ~~St~~ - (Translationsstufen)
~~St~~ - Translationsstufen
- Rotations
Lodging

Bsp: drosophila, linear, polytene BABA

visit
superior website

$\omega_1 \leftarrow \dots \rightarrow$

$$9 - 6 = 3$$

Der Fisch entsteht

$$w_2 \downarrow \uparrow$$

English / / /

hast erhabet

$\tilde{w}_3 \rightarrow \leftarrow, \rightarrow$

Zurück
zurück
zurück
Modem ~~Transmitter~~

$$4 \text{ Moden} + 3 \text{ Tastuhren} + 2 \text{ Reihen} = 3N$$

164

Rotationsanregung



$$E_{\text{rot}} = \frac{\hbar^2}{8\pi^2 I} J(J+1) \quad J=0, 1, 2, \dots$$

(analog Orehwayn)

des H Atoms)

$$\frac{\hbar^2}{2I}$$

I: Trägheitsmoment der Moleküle

$$E_{\text{rot}} \text{ typischerweise } 1 \text{ meV}$$

Wusstet mit Zentrifugalkraft

$$m_r R \omega^2 = \cancel{R} (\underbrace{R - R_0}_{\Delta R})$$

zentrifugalkraft linearer Stand

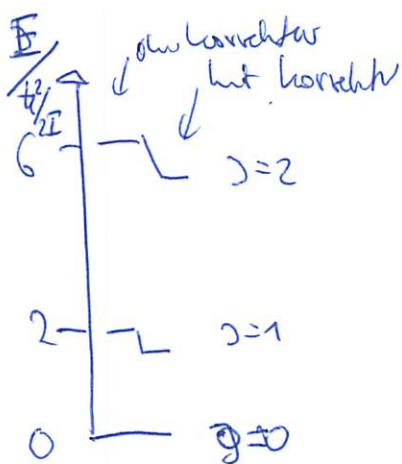
hat $\Delta R \ll R$

$$R^3 = (R_0 + \Delta R)^3 = R_0^3 \left(1 + \frac{\Delta R}{R_0} + \dots\right)$$

$$R - R_0 = \frac{m_r R \omega^2}{k} = \frac{m_r^2 \hbar^4 \omega^2}{k R^3 m_r} = \frac{(\hbar \omega)^2}{k m_r R^3} = \frac{\perp^2}{k m_r R^3} \approx \cancel{\frac{\perp^2}{k m_r R_0^3}}$$

$$\Rightarrow E_{\text{rot}} \approx \cancel{\frac{\hbar^2 J(J+1)}{2 m_r R^2}} - \cancel{\frac{\hbar^4}{2 k m_r R^6}} \frac{\hbar^4 (J(J+1))^2}{2 k I^2 R_0^2}$$

(165)

Beispiel H₂ Molekül

$$m_p = 0.5 m_H = 8.35 \times 10^{-30} \text{ kg} \quad R_0 = 0.74 \times 10^{-10} \text{ m}$$

$$\Rightarrow I_H = m_p R^2 = 4.6 \times 10^{-48} \text{ kg m}^2$$

$$F_{\text{ret}} = \frac{\hbar^2}{2I} (J(J+1)) = B_c J(J+1)$$

$$B_c = \frac{(1.05 \times 10^{-34} \text{ m}^2 \text{ kg/s})^2}{92 \cdot 10^{-48} \text{ kg m}^2} \approx 7 \text{ meV } J(J+1)$$

Grundzustand $E_{J=0} = 0$

Vibrationsenergie

$$\tilde{E}_n = \hbar \omega \left(n + \frac{1}{2} \right) \quad \omega = \sqrt{\frac{\partial^2 E(R)}{\partial R^2}} \Big|_{R_0} = 1.3 \times 10^{14} \text{ Hz} \quad \hbar \omega = 81 \text{ meV}$$

Grundzustand : $E_{n=0} = 40.5 \text{ meV}$ 1. angeregtes Zustand der Vibratoren : $\Delta E = 81 \text{ meV}$ 1. " " " " Rotatoren : $\Delta E = 14 \text{ meV}$

klassisch

Bei 300K (25meV) ist also kaum eine Vibration angeregt, da die 1. Rotation ^{ist} angeregt, da $14\text{meV} < 25\text{meV}$

$$\Delta E_s < k_B T$$

Zweite Rotation liegt bei $6 \times 7 = 42\text{ meV}$, und kann angeregt.

quantenmechanisch

Protonen haben Spin $\frac{1}{2}$, sind also Fermionen.

Es gibt bei den Quantenzuständen ~~Stück~~ also zwei Möglichkeiten für den Gesamtspin

$$\text{singulett : } I_p=0 \quad \frac{|\uparrow\downarrow\rangle - |\downarrow\uparrow\rangle}{\sqrt{2}} \quad \text{antizugend}$$

$$\text{triplett : } I_p=1 \quad \begin{aligned} &|\uparrow\uparrow\rangle \\ &\frac{|\uparrow\downarrow\rangle + |\downarrow\uparrow\rangle}{\sqrt{2}} \quad \text{symmetrisch} \\ &|\downarrow\downarrow\rangle \end{aligned}$$

\Rightarrow Ist $I_p=1$, muss die Drehwellenzahl (d.h. Parität) von \vec{R} gegen $\vec{R} \rightarrow -\vec{R}$ (nur vertausch) antisymmetrisch sein.

$$\text{zu einer : Parität } (-1)^{\text{Drehimpuls}} \quad \text{Ortswelleffekt}$$

\Rightarrow Grundzustand des Triplet H_2 Moleküls ist $J=1$

Ist $I_p=0$, so nur die Drehwellenzahl gleich Parität mit

\Rightarrow Grundzustand der singulett H_2 Moleküls Parawelleffekt
 $J=1$.

(167) Ein Dotschenspektrograph mit $\Delta J = 1$ ist nur möglich,

wenn die Kernspins nur $\frac{1}{2}$ haben.

Kernspins kein Wasserstoff haben sehr lange Lebensdauern

(> 14 Tage bei 20 K)!

→ nicht alle Hyperfeinstruktur sind beobachtbar ($\Delta J = \pm 1, \text{ auch } \Delta M = 1$)

Dies führt zu folgenden Problemen:

WW leichte H₂ von RT auf 20 K (Siedepunkt) ab.

zu 300 K sind im thermischen Gleichgewicht alle Zustände etwa gleich besetzt:

Singulett H₂ mit $J=0$, ein Zweizustand

Triplet H₂ mit $J=1$ (drei Zustände)

also Singulett zu Triplet = 1:3

Bei 20 K wird der neue für Fluiddynamik Gleichgewichtszustand nach $\approx 1/4$ Tage erreicht

$$\frac{3}{4} \cdot 41 \text{ meV} = 1091 \text{ J/mol}$$

$$\Delta E = 41 \text{ meV}$$

$\stackrel{=}{\curvearrowright}$
 $I=1, J=1$
 $I=0, J=0$

Verdampfungswärme: 904 J/mol

→ Energie reicht aus, ~~aber~~ allen H₂ zu verdampfen!

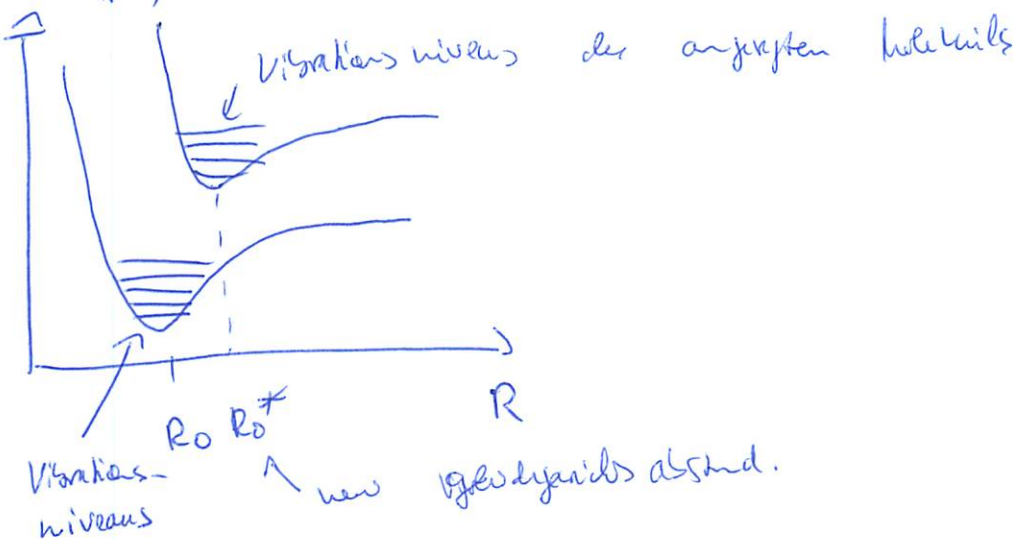
Bsp: Hyperfeinkopplung, in dem H₂ an einem magnetischen Atom interagiert wird.

Optische Einwirkung und das Franck-Condon Prinzip

Molekül wird elektrostatisch angezogen durch ein Photon. Elektronenkonfiguration ändert sich.

\Rightarrow Atom-Atom Wechselwirkung $E(R)$ ändert sich. Es stellt sich ein neuer Abstand R' ein.

$$E(R) = V_{\text{eff}}(R)$$



Born-Oppenheimer \Rightarrow R ändert sich nun im Vergleich zu den elektronen Zustand.

$$\mathcal{F}(r_1, \dots, r_n, R_1, \dots, R_n)$$

Ein zweiatomiges Molekül hat

$$\text{Dipol moment } \vec{d} = -e \sum_{i=1}^N \vec{r}_i + e \sum_j \vec{R}_j z_j$$

Dipolmoment für die optische Einwirkung verteilt sich also aus Intervallen von $A(N_i, R_j)$ aus

$$\langle A(N_i, R_j) | d | A(N_i, R_j) \rangle$$

165

Born-Operator: wir haben die Elektron- und Kern Wellenfunktionen

$$\Psi(n_i, R_j) = \Psi_e(n_i) \cdot \Psi_K(R_j)$$

↑
elektronisch ↑
kernisch

$$\begin{aligned} \Rightarrow \langle \vec{d} \rangle_{fi} &= \langle \Psi_{ef} \Psi_{kf} | \vec{d} | \Psi_{ei} \Psi_{ki} \rangle \\ &= -e \langle \Psi_{ef} \Psi_{kf} | \sum_i \vec{r}_i | \Psi_{ei} \Psi_{ki} \rangle + \\ &\quad + e \langle \Psi_{ef} \Psi_{kf} | \sum_j z_j \vec{R}_j | \Psi_{ei} \Psi_{ki} \rangle \end{aligned}$$

electromechanische Wechselwirkung
Dipol-Dipol-Wechselwirkung

Vibrations-Dipol-Übergänge $\approx 10 \text{ meV}$

1. elektromechanische Wechselwirkung

$$\begin{aligned} \langle \vec{d} \rangle_{fi} &= -e \langle \Psi_{ef} \Psi_{kf} | \underbrace{\vec{d} \cdot \sum_i \vec{r}_i}_{\text{wirkt nur auf}} | \Psi_{ei} \Psi_{ki} \rangle \\ &\quad \cancel{-e \langle \Psi_{kf}^* | \Psi_{ki} \rangle} \quad \cancel{\langle \Psi_{ef} | \sum_i \vec{r}_i | \Psi_{ei} \rangle} \\ &\quad \text{Überlapp. d.} \quad \text{wirkt auf Atome} \\ &\quad \text{Kern-Wellenfunktionen} \\ &\quad \text{Bsp. } \rightarrow \text{Hönl-London-Faktor} \quad \text{bzw. Frank-Condon-Faktor} \\ &\quad \text{Rotation} \end{aligned}$$

\Rightarrow Frank-Condon Prinzip

Klassisch führt die Wechselwirkung also zu festem Restschlag!

\rightarrow Folie

Irreversibel